

# 河川水質および負荷変動の統計的諸特性について

京都大学 寺島 敏  
石川県・神田博行

## はじめに

定地盤における時系列の水質の出現は、流域における水文気象、地質・植生、土地利用状況などの自然的原因と、都市・産業活動などの人為的原因のせいなど、乱れ混合や沉殿、洗掘、生物化学的作用など流域における諸変因、これらは観測測定の儀の原因でも複雑な関連ある不確定性の多く、時系列変動であり、一種の水質現象につれて一般的なものも、半径ベクトルとしての水質の内容においても多くの不確定性を含んでいます。しかしながらこれらのなかからより有用な確定的な情報や法則性を抽出し、変動の構造をより高い精度で推定するには確率論的方法が有効となり、変動の統計解析、時系列解析、半径水質ベクトルの叫数量解析、確率論的予測などが試みられています。しかし多くの水質現象は平均状態推定を主眼とするもので、多くの労力と時間と費用をこしらか比較的の随意に行なうてあります。等時間間隔や常時の水質時系列変動をどうえて有用な資料をつくるために急しい。半径変動の大きさと不確定性、多様性に対して統計、確率論的方法は万能ではなく、しかしながらこの種の研究は専門、とばかりしません。

我々は河川表流水と原水、河口の浄化場では業務記録として原水の水質が比較的長期にわたり保証されていることによく着目し、淀川、木曽川を対象とし、変動の特徴性をより多面的にとらえようとして主眼として若干の統計的解析を行な、半径水質解析への適用分析、主成分分析などの適用、予測への時系列解析や回帰分析、現代制御理論の適用などを試み、その効用性と限界を検討してきました。今回報告する内容は必ずしも最新の結果ではなく、十分に問題点を追究しておらず、変動特性の侧面として紹介してみたい。

## 対象河川と水質の概況

1) 資料 資料は取水口を淀川本川左岸(守治川、桔川、木津川三川合流点約2km下流)と岸の大阪市豊崎浄水場と下流部右岸、柴島浄水場の着水井戸における原水水質および放水地変化における平均流量で、昭和43年8月から49年8月までのもの、さらに木曾川左岸大山取水口、朝日取水口(28km下流)から取水した船屋上野浄水場、大治川浄水場の着水井戸における原水水質および今後4年放流量で、昭和43年4月から47年4月までのもの。

2) 年平均的状況 昭和43年～ 表-1 木曽川水質基本統計解析 表-2 淀川水質基本統計解析

41年3ヶ月間の社質の概況は以下のとおり、淀川御葉取水点では木津川流水の影響で済端が軽微であるが、柴島取水点では京都市及び木曾川排水の影響を反映してBOD<sub>5</sub>、KMnO<sub>4</sub>消費量、NH<sub>3</sub>-N、陰イオソニッケート濃度が13年の値で3.4倍、1.8倍、2.3倍、3.8倍(負荷量としては3.4倍、1.6倍、1.7倍、3.3倍)と増大している。一方でNH<sub>3</sub>-Nの增加は著しくない。

統計量	項目	地点	平均	標準偏差	中央値	幾何平均	統計量	項目	地点	平均	標準偏差	中央値	幾何平均	
BOD <sub>5</sub>	(ppm)	大山	9.40	35.1	4.89		BOD <sub>5</sub>	(ppm)	豊野	1.41	1.02	0.894	1.06	
		朝日	8.18	33.0	3.91				柴島	4.77	2.09	4.26	7.32	
色度	(ppm)	大山	6.63	2.58	6.02	6.38	KMnO <sub>4</sub>	(ppm)	豊野	7.09	3.79	5.11	6.53	
		朝日	9.33	8.42	7.66	8.21	消費量	(ppm)	柴島	12.5	3.98	11.1	12.0	
pH		大山	6.77	0.118	6.84	6.77	アソニニア性		豊野	0.036	0.0369	0.021		
		朝日	7.29	0.169	7.36	7.28	窒素	(ppm)	柴島	0.827	0.381	0.769	0.723	
アルカリ度	(ppm)	大山	15.7	2.84	15.6	15.4	総堿度	(ppm)	豊野	24.1	4.43	23.0	23.6	
		朝日	15.9	3.08	15.9	15.6	度	(度)	柴島	31.6	5.64	30.6	31.1	
KMnO <sub>4</sub> 消費量	(ppm)	大山	5.44	1.42	5.31	5.27	溶解酸素	(ppm)	豊野	9.44	1.80	8.61	9.27	
		朝日	5.50	1.89	5.17	5.28			柴島	6.10	2.47	5.55	5.57	
比導電率	(μmho/cm)	大山	62.0	10.9	61.1	61.0	濁度	(度)	豊野	47.3	38.7	31.1	38.9	
		朝日	57.2	10.9	52.0	56.1			柴島	23.3	30.9	12.6	18.0	
水温	(℃)	大山	13.2	6.08	13.1	11.6	色度	(度)	豊野	49.0	35.1	31.7	39.7	
		朝日	13.1	6.72	12.6	11.1			柴島	29.3	25.0	20.0	25.9	
流量(m <sup>3</sup> /s)		今渡	264	358	178	196	比導電率		豊野	104	13.0	103	103	
									柴島	156	29.3	154	153	
NH <sub>3</sub> -N增加							陰イオソニッケート		豊野	0.0258	0.0221	0.0278	0.0279	
性別(ppm)									柴島	0.138	0.100	0.108		
水温	(℃)								豊野	15.7	7.53	15.1	13.4	
									柴島	16.5	7.60	16.2	14.4	
流量	(m <sup>3</sup> /s)									枝吉	283.4	231.8	198.7	

下しており、各汚濁項目の特徴を示している。木曾川では上流における人為汚漏流入は勿論で、木曾、利田両地表水から  $BOD_5$  約 1 ppm,  $NH_3-N$  0.038~0.09 ppm で、下流における汚漏が該項目の增加、濃度の減少を招くものである。淀川補導地帯北限と比較して行くと、木曾川流量は淀川流量の 93% でほぼ等しいが、濃度、色度は 19, 17% 以下（流域特性）とし、アルカリ度、比導電率は 66, 57%、 $KMnO_4$  消量、 $BOD_5$  は 77, 68% である。

2) 变動状況 條件毎年/年内二変動係数として変動状況をみると、木曾川、淀川において変動の大きさを流量（変動係数 1.36, 0.82）、濃度（2.73（上流）～4.03（下流）、0.82～1.33）、色度（0.9（下流）、0.75～0.85）、淀川  $NH_3-N$  (0.96)、淀川陰イオン活性剤 (0.62～0.12) など、変動の大小を  $pH$  (0.02)、アルカリ度 (0.1～0.19) 比導電率 (0.12～0.19) などがあり、流量変動と依存する項目とそうでない項目、ふたぶつ流出と流域特性と大きな差がある項目など、複数が併存する。また変動の大小よりは平均値と同年的地図が得られる。淀川における直荷の変動は水質の変動を上回り、濃度 (1.71～3.35)、以下  $KMnO_4$  消量、 $BOD_5$ 、陰イオン活性剤、（これらも 0.97～1.44 の範囲）などが続々、アルカリ度は小さい。また  $NH_3-N$  の直荷変動も上下流で大きい。変動の大きさ、水質や直荷については、極端の取扱い、とくに高流量時の取扱いが問題となる。

#### 水質・直荷変動の分布特性

1) 頻度分布特性 種々変動としての水質の実現値と評価値の場合との頻度を算出することは汎用的、評価評価の面からみて重要なである。ことに高汚染レベルと  $x$  の出現頻度及び経続時間が問題となるが、前者については累積相対頻度が易く判断が実際的である。例として淀川において累積相対頻度 95% の値は、濃度の場合上流で 106 度、下流で 54 度、 $BOD_5$  の場合上流で 3.1 ppm、紫島で 8.0 ppm、 $DO$  の場合は 5.4 ppm 位は上流で 6.4 ppm、下流では 2 ppm となる。また頻度分布曲線をもつて直荷分布の中心的位置を示す代表値としてはモードが用いられるが、分布形状は、直荷がベラであり、一般に正規分布を暗黙の前提として算出するが用いられるが、洲上での水文現象は比較的多くの事象についてみられる正規分布の場合は、代表値としては算出平均値がより合理的であるといえる。

本研究では直荷の “直荷/流量” として現出し、一般的には流量変動に応じて変動して直荷変動は少ないといえている。こうした諸変数を統計的にまとめた頻度分布図を作成して分布特性を調べる。

淀川における直荷が直荷の分布形似合せを一覧表するが、正規分布を示すものはアルカリ度（上・下流）、比導電率（上・下流）、下流における  $BOD_5$ 、 $NH_3-N$  であり、直荷の頻度分布には正規分布は見当らない。対数正規分布となるものは、直荷については下流の  $KMnO_4$  消量と上流の陰イオン活性剤、直荷の場合上、下流における  $NH_3-N$ 、下流の  $KMnO_4$  消量とアルカリ度、上流の陰イオン活性剤である。これら以外の項目は地図上での分布形似合は、対数値の分布が完全な正規分布にならず、右肩の直荷分布が左肩となり、才谷式 ( $\log x$ ) による正規化の可能性がある。

図-1 水質及び直荷の頻度分布

左の（直荷の正規分布）

右の（直荷が大なり、

$\log(\log x)$  の直荷の必要性など

その（直荷の正規分布）など

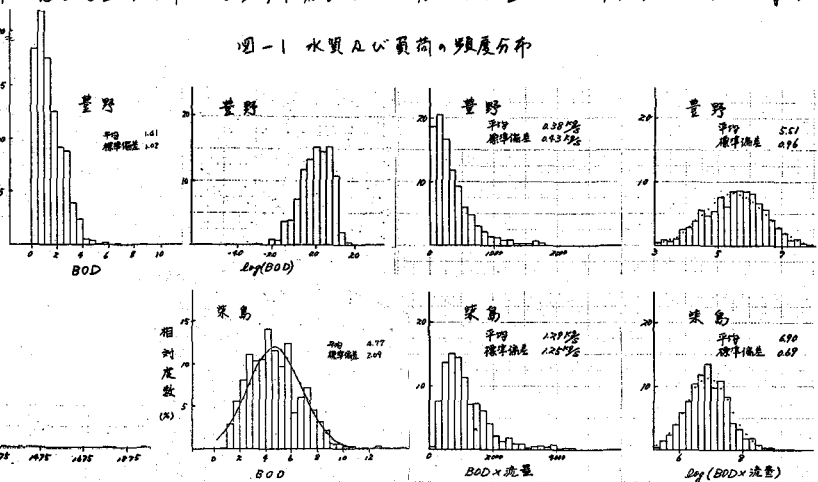


表-3 頻度分布型式(淀川)

項目	地点	水質頻度分布	負荷頻度分布
流量	枚方	順対数正規*	—
濁度	豊野 柴島	順対数正規*	順対数正規*
色度	豊野 柴島	順対数正規*	—
KMnO <sub>4</sub> 消費量	豊野 柴島	順対数正規* 対数正規	二重対数正規** 対数正規
アルカリ度	豊野 柴島	正規 。	順対数正規* 対数正規
陰イオン 活性剤	豊野 柴島	対数正規 順対数正規**	対数正規 順対数正規**
BOD	豊野 柴島	順対数正規** 正規	対数正規 。
アンモニア性 窒素	豊野 柴島	順対数正規* 正規	対数正規 。
比導電率	豊野 柴島	正規 正規	—
DO	豊野 柴島	順延形 。	—

\* 対数値の分布が完全正規分布とどうぞ異なるもの

\*\* log(log x)が正規分布となるもの

表-4 頻度分布型式(木曽川)

項目	水質	負荷
濁度	二重対数正規	二重対数正規
色度	対数正規	—
KMnO <sub>4</sub> 消費量	対数正規	二重対数正規
比導電率	正規	—
アルカリ度	順正規	—
pH	順正規	—

である。DOは水温との相関が高いため、水温は周期変動をしており周期変動の頻度分布は矩形分布に近いことから、DO頻度分布も矩形分布に近い形となる。といふ。

分布の傾向をハサスケルのことは、BODとNH<sub>3</sub>-Nなどのように水温、負荷とともに、上下流で同じ前者の分布形状が後者のそれと一致しており、アルカリ度と比較起来、湍度と色度については上下流の水質頻度分布が一致するところ、また下流の対数正規分布と上流の分布形状が等しい。人為的汚染と反映するBOD、NH<sub>3</sub>-Nの場合、汚染度の高い上流では対数正規分布であり一方、負荷は上下流で対数正規分布を示すことを実験確認。汚染物排出、流出能力変動の原因の增大などを考慮して湍度は正規分布と並んでハサスケルされ、上流では統計的法則に適合している。

木曽川の水質分布形式は表-4のとおりが、多摩川と比較して3年間の日資料を解析した結果(新田)と淀川と木曽川の特性を含めて検討する。アルカリ度は多摩川、淀川(上・下流)で正規分布、木曽川で右に歪んだ対数正規分布、湍度は多摩川で対数正規、淀川(上・下流)と木曽川で左に歪んだ対数正規分布、KMnO<sub>4</sub>消費量は多摩川、木曽川、淀川下流で対数正規、淀川上流で左に歪んだ対数正規となり、これらの項目については3河川における変動の頻度特性は相似している。他に項目については、比導電率も淀川と同様に正規分布となり、色度は淀川が順延分布であるに対しして木曽川では対数正規である。木曽川における濁度、色度の負荷は、流量の頻度特性に影響を及ぼすために歪んだ対数分布、ハサスケル対数正規分布となる。といふ。

この他実地実験結果で一つではなく、化成物質の解説により、河川中生化学成分(Ca<sup>2+</sup>, Mg<sup>2+</sup>, Cl<sup>-</sup>, SO<sub>4</sub><sup>2-</sup>, SiO<sub>2</sub>)の多くは対数正規、またアリカリと河川のクロロ化物は左に歪んだ抽出物活性対数正規分布とされるのが報告がある。

2)水質頻度分布の理論的検討 計算上のBODへの地水流出負荷量は対数正規化され、これは対数正規の間の分布形式とすることが判明したが、これに、この絶対荷量のうらの日平均の時間変動に基づくもの、降雨や水温の伴うとの変動特性が問題となる。負荷変動の原因が多様で不确定となるため正規分布は必ずしも適切ではない。人間活動を基準とした直前の正規分布に対するものである。後者については降雨や流量が強く支配するか対数正規分布となり、その結果、全体としても同様の分布を呈すものと想定される。

まず人口密度と不規則変動Y、Yについての対数正規函数を求める。Y、Yの確率密度函数をP(Y), P(Z)とする。Yの対数正規P(X)は(2)式で求められる。 $Z = \log Y$ 、Zが正規分布の場合は(2)式

$$X = Y/Z \quad \dots \dots (1) \quad P(X) = \int_0^{\infty} Z P(Z) P(Z) dz - \int_{-\infty}^0 Z P(Z) P(Z) dz \quad \dots \dots (2)$$

P(Y), P(Z)は(3), (4)式で求められるので、P(X)は(5)式で求められる。すなわち、 $\mu_1, \mu_2, \sigma_1, \sigma_2$ はそれぞれ

$$Y > 0; P(Y) = \frac{1}{\sqrt{2\pi\sigma_1^2}} \cdot \exp\left\{-\frac{(\log Y - \mu_1)^2}{2\sigma_1^2}\right\} \quad Y \leq 0; P(Y) = 0 \quad (3)$$

$$Z > 0; P(Z) = \frac{1}{\sqrt{2\pi\sigma_2^2}} \cdot \exp\left\{-\frac{(Z - \mu_2)^2}{2\sigma_2^2}\right\} \quad Z \leq 0; P(Z) = 0 \quad (4)$$

$p_1(y)$ ,  $p_2(y)$  の標準偏差を  $\sigma$  と平均である。すなはち、 $y$ ,  $z$  が正規分布の場合、標準偏差が  $\sqrt{\sigma^2 + \mu_1^2}$ , 差の  $\mu_1 - \mu_2$  の対数正規分布となることがわかる。相当数の水質や薬荷の分布はこうして説明が適用できるが、水質の正規分布よりも多くの説明力がある、というべきは實際の薬荷濃度分布が対数正規以外の分布形をとるといふものと思われる。

$$P(x) = \int_0^\infty \frac{1}{\sqrt{2\pi(\sigma^2 + \mu_1^2)}} \frac{1}{x} \exp \left\{ -\frac{(\log x - \mu_1)^2}{2(\sigma^2 + \mu_1^2)} \right\} d\log z \\ = \frac{1}{\sqrt{2\pi(\sigma^2 + \mu_1^2)}} \frac{1}{x} \exp \left\{ -\frac{(\log x - (\mu_1 - \mu_2))^2}{2(\sigma^2 + \mu_1^2)} \right\} \quad (5)$$

### 3) 濃度別に對する分布特性

定義における水質変動の実態を把握するには連続観測の統計的性質を用ひるが、監視による種類から主なる水質項目の観測の通常同一程度であり、平均値と標準偏差を用ひる。2つ以上の測定の低水時、高水時の代表値とすれば、これら当然であるが、平均値の水質実態との程度の精度が代表するかは必ずしも同心である。Y=2不老川太山地帯水質のうち、重水(268%)、平水(169%)、低水(118%)、端水(31%)を各流量として、各流量帶の濃度分布特性を解析した(図-2)。小水と中水、端水の平均値は排水量が排水量と共に増加する傾向にあり、以降流量の増大とともに急激に増大する。標準偏差は流量と共に指数的に増大する。KMnO<sub>4</sub>消費量の平均は端水から重水まで直線的に減少し、比較的十分に増大する。標準偏差は端水、平水でほぼ一定だが重水以上では増大する。比導電率の平均は流量とともに減少し、標準偏差は増加して変動が大きくなる。したがってより多くの測定も、流量増加とともに変化し、濃度分布特性の流量依存性が明瞭である。

### 4) 年の通推定のための観測回数と水質分布の定常性

水質変動の平均値をある精度で把握するための必要観測回数は、基本的には水質濃度分布の基準へ求めることができる。しかし、この方法による場合は変動が定常であることが前提で、アンサンブル平均や分散が、時間平均値や分散と一致していなければならぬ。

まずある一定期間内で変動が定常と見て取れ、しかも正規分布  $N(\mu, \sigma^2)$  が従うとする時、N回測定を行って得られる平均値の分布は正規分布  $N(\mu, \sigma^2/m)$  が従うが、式が  $\mu = \bar{x}$ 、 $\sigma^2 = \text{var}(x)$  であると確定的であると、公算の観測回数Mを決定することができる。しかし、分布が正規分布でない場合の確率的性質解釈が必要となる。すなはち、一般に標本平均分布は母集団分布と正規分布の中间の形となる(標本の大きさが標準的な正規分布となる)ので、公算の水質面積を確定することができない。したがって前述のように水質回数Mへ場合によって対数正規分布形をとるもので、対数面積は正規化母集団を考慮して、これがM個の平均(母集団の中央値)である精度で確定する。このの標本数Mを上と同じ値とすると、それより(底部)2倍以上となるが、この場合の平均は母集団の母平均の値である。すなはち、母集団平均より2倍以上の値であることを留意する必要がある。多め若しくは

図-2 流量別にみた分布特性

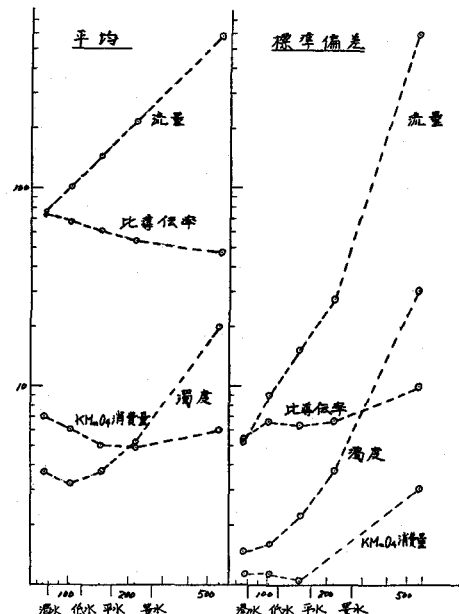
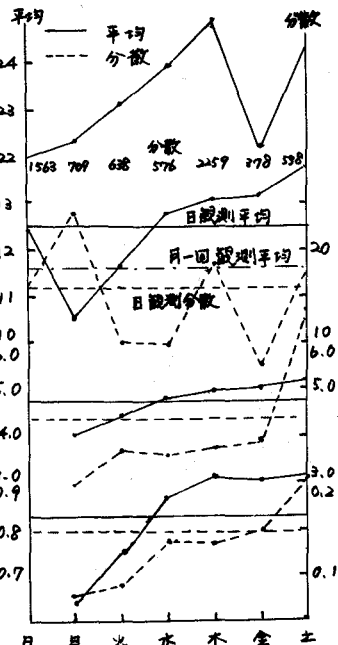


図-3 観測の違いによる特徴の変動

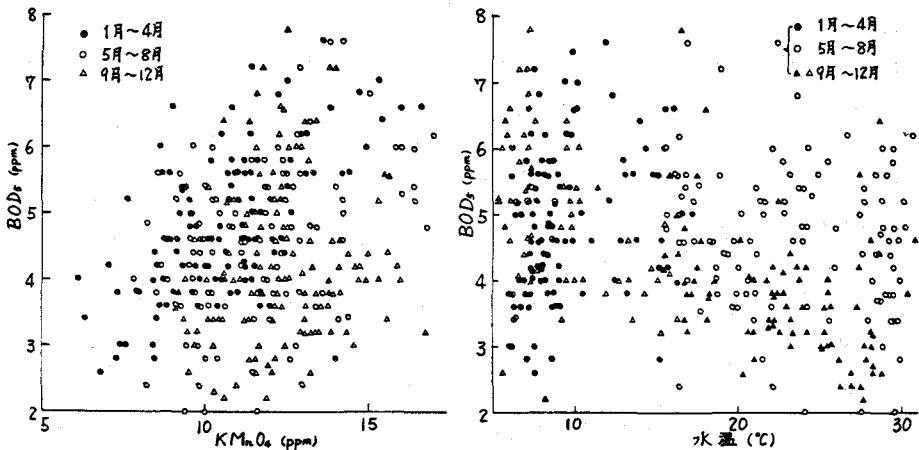


期間によって定常である。

ても、周期性がある場合のサンプリングは定期的理諭的根拠に依る付ければよい。

図-3 は淀川某易地表水について同一日毎月一日の調査を行なっており、小水系の標準分布特性と日測定のものと

図-4 BOD<sub>5</sub>とKMnO<sub>4</sub>消費量、水温との相関



を比較したものであるが、人為汚染項目については周期性からみて増加する周期性が認められるため、日毎測定の場合の平均で分散の差異が曇日比とて変化し、毎月一日調査では通常の調査条件による目的が高めでない日の資料を含むのが、場合小水系平均値が相應する。

#### 流量と水質の間の相関について

淀川上下流における污染状況の変化がわかると朝日、湯・色度(上流0.946、下流0.973)、水温とDO(-0.956~-0.911)、比導電率とアルカリ度(0.725~0.878)、KMnO<sub>4</sub>消費量と色度(0.754~0.691)及水温度(0.699~0.670)、流量と総アルカリ度(-0.513~-0.726)、水温とBOD(-0.682~-0.593)などが認められ、流量と湯度(0.574)、BODとKMnO<sub>4</sub>消費量(0.521)などである。木曾川においても比導電率とアルカリ度(0.851~0.912)、湯度と色度(0.702~0.662)などの相関がある。流量との相関は淀川の場合と同じくアルカリ度について高いが-0.42以下である。

某易における主要汚染項目のBOD<sub>5</sub>について重回帰分析を試みたところR=0.791である。

$$\begin{aligned} \text{BOD}_5 = & 3.60 - 0.000411 \times \text{流量} (\text{m}^3) - 0.123 \times \text{水温} - 0.00352 \times \text{湯度} - 0.00444 \times \text{色度} \\ & + 0.297 \times \text{KMnO}_4 \text{ 消費量} - 0.00656 \times \text{比導電率} + 0.00650 \times \text{総アルカリ度} \\ & + 0.899 \times \text{陰イオソ活性剤} + 0.778 \times \text{NH}_3-\text{N} - 0.00919 \times \text{DO} \end{aligned}$$

であるが、説明变量のうち主要なものは水温、KMnO<sub>4</sub>消費量、NH<sub>3</sub>-Nである。この他の説明变量として場合の回帰式でもR=0.786である。

相関係数で年回帰式と、下評価を行なった場合、説明变量間の線型性が問題となる。図-4によると淀川におけるBOD<sub>5</sub>とKMnO<sub>4</sub>消費量とは季節毎に付けて相関が認められる(相関係数0.527)が、水温とBOD<sub>5</sub>は季節の変化が認められず、その全体としては認められておらずである。年間を通じての相関係数は-0.573であるが、季節毎に正の相関も認められるようである。相関と下評価は基本的には水質構造の変化と時季別に解析することにより、それをよりよく示すことができる。流量と水温とへ相関は経済的物流量、沈降、布設などとの関連で理由とするが、それが湯度については、淀川、木曾川の上下流における状況とみると流量の増加とともに湯度が低下する傾向がある。平均値はわずかに増加する傾向があるが、高水温に到達するまでの間、平均値はともに減少傾向にある。高湯度が必ずしも高流量時に生じるものではなく、これは要件深い。流量と比導電率の相関は淀川下流と木曾川におけるものが相似しく、流量の増加とともに反比例的に減少するといふのが一般的である。淀川上流では年内的に一時増加のうえでから減少しつつあることが分かる。アルカリ度の場合も比導電率の場合と同様であるが、わざかに下降する方が大きい。木曾川 KMnO<sub>4</sub>消費量について他の測定項目とどうく、多比例的減少のうち平均進歩の減少と増加の傾向が認められる。当色度は底へ流量減少する、である。

うつ空気導管した場合平均流速は増加しない。このようだ流量への關係は多くのものが線形でなく僅て相間保有が大きくなるのが、流出、蒸散、地盤からの流域、流路の水質メカニズムに応じて変化する傾向がある。

### 時系列的運動特性について

水質の時系列的運動特性のうちで最も顕著なものは、流出の季節的変化比併びに周期的運動( $y_p(t)$ )である。次いで蒸散、流出が測定比例の下での不確定な運動( $y_u(t)$ )、蒸散排泄の増減などによる運動( $y_d(t)$ )などが内包している。運動平均傾向では、基本となる流量の運動は、平均量は洪水期の高流量が急激に増加し小の形となり、端度、色度も同じくこの形を呈し維持され、KMnO<sub>4</sub>消費量やアルカリ度は流量運動の影響が明確に現れ、年周期性をもつが必ずしも平均的ではある運動である。また汚染反映項目のBODや陰イオン活性剤の高流量の影響を示すと、明瞭な周期性を示すなど、理由はさて置き、時系列的特徴が実在する。

運動特性(1)～(8)より、一次近似の手で長期傾向を除めると、人工污染反映項目以外のものは有意な傾向を示さず。また人工污染項目でも例えばBODの場合、昭和43～46年間にわたり勾配A =  $5.5 \times 10^{-4}$  ppm/a ( $\tau_f = 14$ 年)、

$$y(t) = y_x(t) + y_f(t) + y_r(t) \quad \dots (7) \quad y_f(t) = At + B \quad \dots (8) \quad y_p(t) = A_0 + \sum_{p=1}^b C_p \cos(p\omega t - \theta_p) \quad \dots (9)$$

43～49年にはA =  $-6.6 \times 10^{-5}$  ppm/a ( $B = 4.79$ 年)であり、比較的短期の傾向運動を含む、明確な長期傾向を示すので、BODについて23回(9)を以て、7年周期、用用期に対して調査解析を施すこと、表-5の結果を得る。 $y_x$ 、 $y_p$ は降水量と積雪量とに比例的で、不確定な降雨、流出等、汚染反映排泄によらず、7年不規則相当程度の変動を示してい。水質の運動は各測定点の実際的問題を示す(1)～(8)。この不確定な運動成分への対応が重要な問題である。

表-5 調査解析

運動と積雪量、各用用期成分への寄与定量的に把握する方法としてスペクトル分析の手法がある。図-5は淀川某場所BOD日運動のスペクトルであるが、長周期成分のうちで7年周期、短周期運動のうちでも7日周期成分の寄与が強くなることが明瞭である。

人工污染項目の陰イオン活性剤やNH<sub>3</sub>-Nについても同様である。しかし河川、自然の雪崩化反応などを除く項目の場合には、図-6のように、比導電率の流量は1月～4月にかけては年周期性を復元せんとするが、積雪の低周波成分まで、 $P = P_0 f^{-1.17} \frac{C}{f}$ の変化を示し、湯度、色度、KMnO<sub>4</sub>消費量は $P = P_0 f^{-0.546}$ を示す。水温の場合にはかねて明確な年周期の運動構造を示す。木曾川の水質スペクトルも、自然原因による支流の洗い出しによるものと同様の傾向を示す。

このようだ水質スペクトルを、運動構造を整理する重要な指標である。これは小川、河川、湖沼等の運動を再現、シミュレーション可能である。

図-6 水質のスペクトル

